

06

# Морфология пористого кремния при длительном анодном травлении в электролите с внутренним источником тока

© К.Б. Тыныштықбаев, Ю.А. Рябикин, С.Ж. Токмолдин,  
Т. Айтмukan, Б.А. Ракыметов, Р.Б. Верменичев

Физико-технический институт МОН РК, Алматы, Казахстан

E-mail: kt011@sci.kz

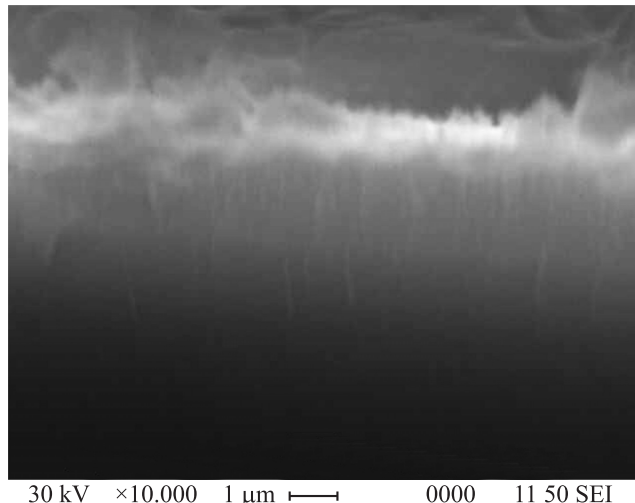
Казахский национальный технический университет им. К.И. Сатпаева

Поступило в Редакцию 1 декабря 2009 г.

Представлены результаты электронно-микроскопического исследования морфологии пористого кремния, полученного при длительном анодном травлении с использованием внутреннего источника тока в электролитах HF : H<sub>2</sub>O<sub>2</sub> : H<sub>2</sub>C<sub>5</sub>OH и HF : H<sub>2</sub>O<sub>2</sub>. Обнаружена мозаичная структура нанопористого кремния в виде островков, разделенных кремниевыми выступами. Показано, что островки представляют собой скопления окисленных нанокристаллитов. Приведены результаты элементного анализа островков окисленных нанокристаллитов и кремниевых выступов.

Ранее в [1] наблюдалось электролитическое порообразование в кремнии без приложения внешнего напряжения, когда в системе смеси плавиковой кислоты и этанола с добавкой перекиси водорода между электродами электрохимической ячейки возникает внутренний источник ЭДС. В такой системе с использованием платинового противоэлектрода наблюдалось интенсивное порообразование в кремнии, что связывалось с каталитическим влиянием платины на процессе восстановления H<sub>2</sub>O<sub>2</sub>.

Нами исследовано порообразование в кремнии *p*-Si(100), 0.01 Ω · см (бор) при анодном травлении в электролитах HF(49%) : H<sub>2</sub>O<sub>2</sub>(40%) : H<sub>2</sub>C<sub>5</sub>OH = 1 : 1 : 1 и HF(49%) : H<sub>2</sub>O<sub>2</sub>(40%) = 1 : 1 в течение 240 min, когда в качестве противоэлектрода использовался никель. При указанных составах и концентрациях компонентов электролитов плотности токов были  $j_a = 1.7 \text{ mA/cm}^2$  и  $j_a = 3.0 \text{ mA/cm}^2$



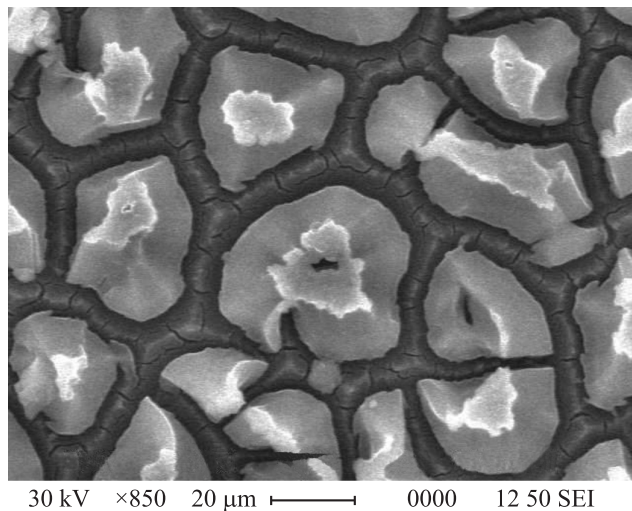
**Рис. 1.** Изображение РЭМ скола ПК. Состав электролита — HF(49%):  
 $\text{H}_2\text{O}_2(40\%) : \text{H}_2\text{C}_5\text{OH} = 1 : 1 : 1$ .

соответственно. Омический индивидуальный контакт формировался по всей поверхности тыльной стороны пластины кремния путем отжига при  $300^\circ\text{C}$  в течение 30 min.

Снимки поперечного скола образцов пористого кремния (ПК), полученные с помощью растрового электронного микроскопа JSM-6490LA, Jeol (PZM), показали наличие в них нитевидных кремниевых кристаллитов с диаметрами порядка нескольких нанометров и длиной до  $3\text{ }\mu\text{m}$ , проявляющихся на рис. 1 в верхней части пористого слоя.

Спектры фотолюминесценции (ФЛ) исследуемых образцов ПК, регистрируемые с помощью монохроматора МДР-23 при возбуждении светом Не–Cd-лазера ( $\lambda_{exc} = 325\text{ nm}$ ), наблюдались, как и в работе [1], в интервале  $340$ – $800\text{ nm}$  с максимумом интенсивности при длине волны  $640\text{ nm}$ , что обычно свидетельствует о преимущественном преобладании наноразмерных кристаллитов кремния.

Планарные электронно-микроскопические исследования (рис. 2, 3) демонстрируют мозаичную структуру поверхности образца ПК в виде многочисленных островков, разделенных лабиринтом выступов. В нашем случае выступы имеют четкие очертания в отличие от ранее наблюдавшегося лабиринта каналов ПК [2].

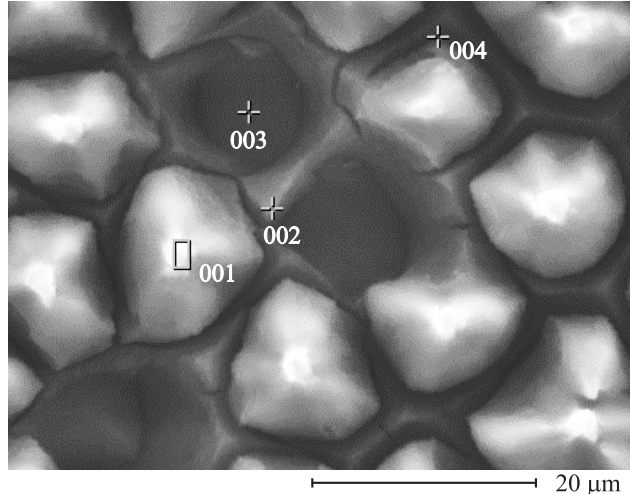


**Рис. 2.** Изображение РЭМ поверхности области зарождающихся островков ПК. Состав электролита — HF(49%) : H<sub>2</sub>O<sub>2</sub>(40%) : H<sub>2</sub>C<sub>5</sub>OH = 1 : 1 : 1.

Наблюдаются две характерные области островков. Одна — область зарождающихся островков, другая — в основном сформировавшихся островков.

Зарождающиеся островки разделены выступами, на поверхности которых наблюдаются трещины определенной ориентации. Размеры островков лежат в пределах 20  $\mu\text{m}$ , расстояние между островками составляет несколько  $\mu\text{m}$ . Высота островков больше, чем высота выступов. На отдельных островках также имеются трещины, в которых начинают проявляться выступы, что в дальнейшем приводит к разделению островков. Формы островков и выступов, направленность на них трещин, по-видимому, определяются кристаллографической ориентацией с структурой материала подложки, о чём для случая мезопористого кремния упоминалось в [2,3].

Сформировавшиеся островки и разделяющие их выступы (рис. 3) имеют ограниченные поверхности без трещин. У основания островков имеются углубления. На местах отделившихся островков наблюдаются свободные ячейки. Отметим, что отжиг не изменяет форму и размеры островков.



**Рис. 3.** Изображение РЭМ поверхности области сформировавшихся островков ПК и элементный состав ее отдельных участков после отжига при 300°C: 001 — островок с элементным содержанием 30.54 at.% Si, 51.81 at.% O, 17.65 at.% C; 002 — остаточный след островка, 50.17 at.% Si, 35.09 at.% O, 14.75 at.% C; 003 — дно ячейки, 66.64 at.% Si, 33.36 at.% O, С отсутствует; 004 — выступ-углубление, 88.45 at.% Si, 11.55 at.% O, С отсутствует. Состав электролита — HF(49%):H<sub>2</sub>O<sub>2</sub>(40%):H<sub>2</sub>C<sub>5</sub>OH = 1 : 1 : 1.

Сформировавшиеся островки сосредоточены в основном в центральной части поверхности проправленного образца, зарождающиеся островки располагаются по ее периферии.

В отличие от данных работ [2–4], где наблюдалась фрактальны наночастиц с размерами 10–100 nm, в нашем случае фракталами являются еще и островки с размерами порядка 20 μm, представляющие собой скопления окисленных нанокристаллитов. В соответствии с [2,5] можно предположить, что фрактальный характер механизма образования мозаичной структуры обусловлен флуктуацией потенциала на границе раздела электролит/полупроводник из-за сильно развитой поверхности ПК. В результате этого появляются области локализации носителей заряда, в которых происходит более интенсивное травление поверхности с образованием мозаичной структуры. Характер локализации зарядов определяется особенностями всей совокупности

электрохимической системы с внутренним источником тока, включая характеристики электродов и параметры ячеек.

Представляет интерес рассмотрение процесса образования мозаичной структуры ПК в зависимости от времени травления. При малых временах травления (30 min) мозаичная структура на протравленной поверхности не наблюдается. При травлении в течение 60 min на протравленной поверхности появляются трещины, свидетельствующие о зарождении мозаичной структуры. Появление трещин, скорее всего, обусловлено процессами электрохимического травления, а не за счет деформационных напряжений, возникающих в ПК после травления, при сушке и после пребывания образца на воздухе [6]. Мозаичная структура с островками и выступами начинает проявляться при временах травления 120 min и более. На образцах, полученных при этих временах травления, начинают регистрироваться спектры ФЛ. При времени травления 240 min трещины на выступах начинают исчезать („заличиваться“), рельеф выступов, включающий вершину, склон и углубления у основания островков, приобретает отчетливый вид.

„Заличивание“ трещин может быть связано с перестройкой поверхностных атомов Si [7–9] в результате сложных электрохимических и химических реакций, например реакций диспропорционирования [2].

Проведен элементный анализ островков, выступов и дна ячеек ПК с помощью энергодисперсионной приставки JED-2300 электронного микроскопа JSM-6490LA. В состав островков входят Si (48.50 at.%), O (21.92 at.%) и C (29.58 at.%). Количественное содержание элементов приведено для образца ПК, протравленного в HF:H<sub>2</sub>O<sub>2</sub>:H<sub>2</sub>C<sub>5</sub>OH. Поверхности выступов и дна ячеек содержат только Si (100 at.%). На отдельных участках поверхности дна ячеек и выступов обнаружено помимо Si наличие O, что связано с остаточными следами островковых образований после их удаления.

Результаты большого числа элементных анализов показывают, что выступы представляют собой чистый кремний, а островки — окислы кремния. Это позволяет предположить, что углубления у основания островков появляются из-за различия скоростей травления чистого кремния и окислов кремния с учетом возможного влияния деформационных напряжений, возникающих на границе SiO<sub>x</sub>/Si [6].

При естественном окислении ПК на выступах и на дне чистых ячеек появляется небольшое количество O (5 at.%), а C отсутствует, т.е. адсорбция O не сопровождается адсорбцией C. На островках содержание O и C при этом практически не меняется.

Формы и размеры островков и выступов после термического изохронного ( $t = 30\text{ min}$ ) отжига на воздухе в интервале температур  $100 - 500^\circ\text{C}$  с шагом  $50^\circ$  не меняются. При отжиге изменяется лишь количественное содержание элементов в них. На рис. 3 показаны участки (001, 002, 003 и 004) поверхности ПК, протравленного в  $\text{HF:H}_2\text{O}_2:\text{H}_2\text{C}_5\text{OH}$  и отожженного при  $300^\circ\text{C}$ , для которых выполнены элементные анализы. Так, на островках при  $T_{an} = 300^\circ\text{C}$  концентрация О увеличивается с 21.92 at.% у неотожженного образца до 51.81 at.% (рис. 3–001) у отожженного и начинает превышать концентрацию Si (30.54 at.%). Концентрация С в них уменьшается с 29.58 at.% на исходном образце до 17.65 at.% у отожженного. Увеличение О на островках свидетельствует об образовании на них окислов кремния сложного, изменяющегося состава  $\text{SiO}_x (0 < x \leq 2)$ , в том числе с преимущественным образованием  $\text{SiO}_2$  при конечных температурах отжига ( $400 - 500^\circ\text{C}$ ). Содержание О на чистых поверхностях дна ячеек (рис. 3–003) и выступов (рис. 3–004) заметно возрастает с отжигом и составляет 33.36 и 11.55 at.% соответственно. На рис. 3–002 наблюдается остаток островка, расположенный на выступе между двумя соседними ячейками. Наличие остатка островка подтверждается результатами элементного анализа (Si — 50.17 at.%, O — 35.09 at.%, C — 14.75 at.%) и появлением поперечной трещины, отделяющей островок от его остатка. Отметим, что при изохронном отжиге максимум интенсивности спектров ФЛ исследуемых образцов ПК приходится на  $T_{an} = 100^\circ\text{C}$ . При дальнейшем повышении  $T_{an}$  интенсивность ФЛ монотонно спадает и при  $500^\circ\text{C}$  уменьшается более чем в 10 раз.

Углерод в ПК регистрировался ранее [10] и предполагалось, что он обусловлен составом электролита, содержащим спирт. Однако в нашем случае углерод появляется и при травлении в электролите, не содержащем спирт ( $\text{HF:H}_2\text{O}_2$ ). Концентрация С при порообразовании в электролите с этанолом  $\text{HF:H}_2\text{O}_2:\text{H}_2\text{C}_5\text{OH}$  такая же, как и в случае без него.

Наличие элемента С обнаруживается только в пористой структуре островковых образований и в местах следов остатков островков. С отсутствует на поверхностях выступов и углублений, а также на их поверхностях после естественного окисления и отжига. Все это позволяет предположить, что углерод, содержащийся в воздухе в виде соединений (окислов), адсорбируется неполностью окисленными нанокристаллитами островковых образований.

В зависимости от длительности процесса изотермического отжига ( $300^{\circ}\text{C}$ ) наблюдается различная степень удаления островков. Отжиг в течение 480 min приводит к практически полному удалению островков и появлению свободных ячеек, как и в случае длительного травления. Формы оставшихся свободных ячеек повторяют формы исходных островков. Это хорошо наблюдается на электронно-микроскопических снимках, на которых видны чистые ровные поверхности дна ячеек, что свидетельствует об отрыве островков целиком. Удаление отдельных островков при отжиге может быть связано с упругими деформационными и термическими напряжениями, возникающими на границе раздела окисленной поверхности островков (нанопор)  $\text{SiO}_x$  с материалом подложки [6]. Этим же можно объяснить удаление островков в случае длительного травления.

Таким образом, морфология ПК, полученного при длительном анодном травлении в электролитах с внутренним источником тока, имеет мозаичную структуру в виде островков, разделенных кремниевыми выступами, которая определяется особенностями всей совокупности электрохимической системы с внутренним источником тока, включая характеристики электродов и ячейки. Островки представляют собой скопления окисленных нанокристаллитов.

## Список литературы

- [1] Горячев Д.Н., Беляков Л.В., Сресели О.М. // ФТП. 2003. Т. 37. В. 4. С. 494.
- [2] Smith R.L., Collins S.D. // J. Appl. Phys. 1992. V. 71. N 8. P. R1.
- [3] Theiss W. // Surface Science Reports. 1997. V. 29. P. 91.
- [4] Караванский В.А., Качалов М.А., Маслов А.П. и др. // ПЖЭТФ. 1993. Т. 57. № 4. С. 229.
- [5] Полисский Г., Сресели О.М., Андрианов А.В., Кох Ф. // ФТП. 1997. Т. 31. В. 3. С. 365.
- [6] Ратников В.В., Сорокин Л.М., Соколов В.И., Калмыков А.Е. // ФТТ. 2009. Т. 51. В. 12. С. 2289.
- [7] Белогорохов А.И., Белогорохова Л.И., Караванский В.А., Образцов А.Н. // ФТП. 1994. Т. 28. В. 8. С. 1424.
- [8] Ельцов К.Н., Караванский В.А., Мартынов В.В. // ПЖЭТФ. 1996. Т. 63. № 2. С. 106.
- [9] Гаврилов С.А., Заварецкая Т.Н., Караванский В.А. и др. // Электрохимия. 1997. Т. 33. № 9. С. 1064.
- [10] Колмакова Т.П., Бару В.Г., Малахов Б.А. и др. // ПЖЭТФ. 1993. Т. 57. № 7. С. 398.